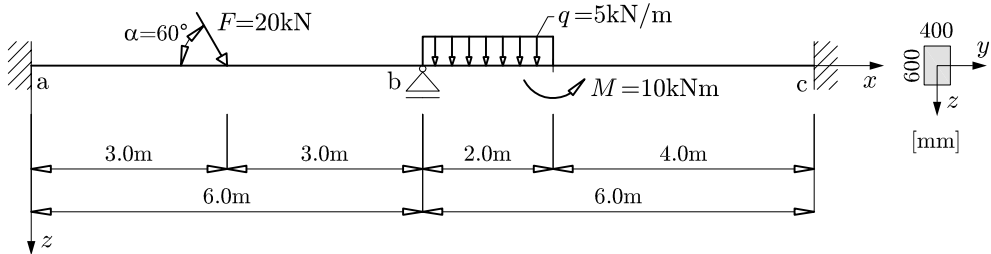


1 Obecná deformační metoda

1.1 Spojitý nosník

Obecnou deformační metodou vypočítejte a vykreslete vnitřní síly spojitého nosníku na obrázku 1. Nosník má obdélníkový průřez o rozměrech 0.4×0.6 m. Nosník je na obou koncích veknutý a uprostřed rozpětí je umístěna posuvná podpora. Zatížení nosníku je tvořeno osamělou silou o velikosti 20 kN a sklonem 60° , rovnoramenným zatížením s intenzitou 5 kNm^{-1} na délce 2 m a osamělým momentem o velikosti 10 kNm umístěným 2 m od podpory b. Materiál nosníku má modul pružnosti $E = 36 \text{ GPa}$.



Obrázek 1: Schéma nosníku

Základní soustavu rovnic pro řešení úlohy můžeme zapsat:

$$[\mathbf{k}] \cdot \{\mathbf{r}\} = \{\mathbf{F}\} \quad (1)$$

kde $[\mathbf{k}]$ = matice tuhosti prutové soustavy, $\{\mathbf{F}\}$ = silový vektor, $\{\mathbf{r}\}$ = vektor neznámých deformací. Průřezová plocha nosníku je

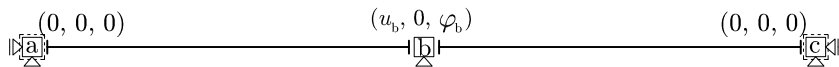
$$A = b \cdot h = 0.4 \cdot 0.6 = 0.24 \text{ m}^2$$

Moment setrvačnosti průřezu je

$$I_y = \frac{1}{12} \cdot b \cdot h^3 = \frac{1}{12} \cdot 0.4 \cdot 0.6^3 = 0.0072 \text{ m}^4$$

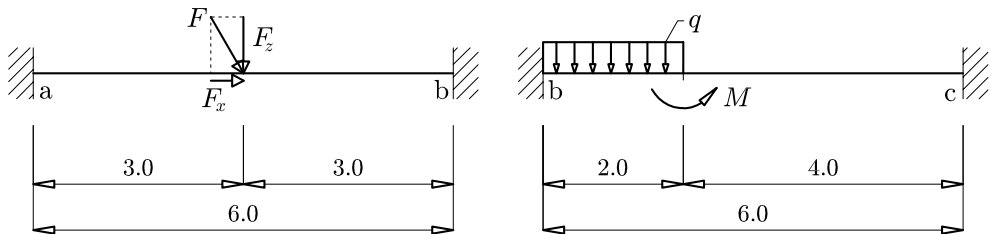
1. Sestavíme výpočtový model viz obrázek 2. Uzly si označíme písmeny a, b, c a určíme minimální stupeň přetvárné neurčitosti n_p . V rovinné úloze má každý styčník 3 stupně volnosti (u_i, w_i, φ_i) . Jeden posun ve směru globální osy X, ve směru osy Z a jedna rotace kolem osy Y (proti směru hodinových ručiček). Globální vektor parametrů deformace (neznámé deformace) $\{\mathbf{r}\}$ je v našem případě $\{\mathbf{r}\} = \{u_b, \varphi_b\}^T \Rightarrow n_p = 2$.

$$\{\mathbf{r}\} = \begin{Bmatrix} u_b \\ \varphi_b \end{Bmatrix} \quad (2)$$



Obrázek 2: Výpočtový model

2. Spojitý nosník je rozdělen na dva pruty a-b a b-c, obr. 3.



Obrázek 3: Rozdělení nosníku na 2 oboustranně veknuté pruty a-b a b-c

$$F_x = F \cdot \cos(\alpha) = 20 \cdot \cos(60^\circ) = 10 \text{ kN}$$

$$F_z = F \cdot \sin(\alpha) = 20 \cdot \sin(60^\circ) = 17.32 \text{ kN}$$

Pro výpočet matice tuhosti obou prutů použijeme tab. 11.3a (tab. 8.3a), protože oba pruty jsou oboustranně vethnuté. Matice tuhosti je symetrická. Matice tuhosti pro oba $[k_{ab}]$ a $[k_{bc}]$ jsou stejné, protože délka, průřezová plocha, moment setrvačnosti a modul pružnosti jsou pro oba pruty stejné.

$$[k_{ab}] = [k_{bc}] =$$

$$= \begin{pmatrix} 1.44 & 0 & 0 & -1.44 & 0 & 0 \\ 0 & 0.0144 & -0.0432 & 0 & -0.0144 & -0.0432 \\ 0 & -0.0432 & 0.1728 & 0 & 0.432 & 0.0864 \\ -1.44 & 0 & 0 & 1.44 & 0 & 0 \\ 0 & -0.0144 & 0.0432 & 0 & 0.0144 & 0.0432 \\ 0 & -0.0432 & 0.0864 & 0 & 0.0432 & 0.1728 \end{pmatrix} \left[\frac{\text{N}}{\text{m}} \right]$$

Pokud bychom měli za úkol vypočítat pouze vektor neznámých deformací $\{r\}$, potřebovali bychom pouze některé prvky matice tuhosti $[k]$ a vektoru primárních koncových sil $\{\bar{R}\}$. Tyto prvky jsou zvýrazněné dále v textu šedou barvou.

$$[k_{ab}] =$$

$$\begin{pmatrix} u_a(0) & w_a(0) & \varphi_a(0) & u_b(1) & w_b(0) & \varphi_b(2) \\ 1.44 & 0 & 0 & -1.44 & 0 & 0 \\ 0 & 0.0144 & -0.0432 & 0 & -0.0144 & -0.0432 \\ 0 & -0.0432 & 0.1728 & 0 & 0.0432 & 0.0864 \\ -1.44 & 0 & 0 & 1.44 & 0 & 0 \\ 0 & -0.0144 & 0.0432 & 0 & 0.0144 & 0.0432 \\ 0 & -0.0432 & 0.0864 & 0 & 0.0432 & 0.1728 \end{pmatrix} \left[\frac{\text{N}}{\text{m}} \right]$$

$$[k_{bc}] =$$

$$\begin{pmatrix} u_b(1) & w_b(0) & \varphi_b(2) & u_c(0) & w_c(0) & \varphi_c(0) \\ 1.44 & 0 & 0 & -1.44 & 0 & 0 \\ 0 & 0.0144 & -0.0432 & 0 & -0.0144 & -0.0432 \\ 0 & -0.0432 & 0.1728 & 0 & 0.0432 & 0.0864 \\ -1.44 & 0 & 0 & 1.44 & 0 & 0 \\ 0 & -0.0144 & 0.0432 & 0 & 0.0144 & 0.0432 \\ 0 & -0.0432 & 0.0864 & 0 & 0.0432 & 0.1728 \end{pmatrix} \left[\frac{\text{N}}{\text{m}} \right]$$

Použitím zvýrazněných prvků matice sestavíme globální matici tuhosti prutové soustavy

$$[k] = \left(\begin{array}{cc|c} 1.44 \cdot 10^9 & & 0 \\ +1.44 \cdot 10^9 & & +0 \\ \hline 0 & 1.728 \cdot 10^8 & \\ +0 & +1.728 \cdot 10^8 & \end{array} \right) = \left(\begin{array}{cc} 2.88 \cdot 10^9 & 0 \\ 0 & 3.456 \cdot 10^8 \end{array} \right) \quad (3)$$

3. Zatěžovací vektor $\{F\}$ je roven rozdílu vektoru uzlového zatížení $\{S\}$ a primárního vektoru koncových sil $\{\bar{R}\}$ (čárka nad R značí, že se jedná o primární vektor). V našem příkladě není žádné uzlové zatížení, z čehož vyplývá nulový vektor uzlových zatížení $\{S\} = \emptyset$.

$$\{F\} = \{S\} - \{\bar{R}\} \quad (4)$$

Primární vektor koncových sil $\{\bar{R}_{ab}\}$ pro prut zatížený osamělou silou určíme podle tab. 11.2c

(14.10 řádek 2) (tab. 8.1a/2)

$$\{\bar{\mathbf{R}}_{ab}\} = \begin{Bmatrix} \bar{X}_{ab} \\ \bar{Z}_{ab} \\ \bar{M}_{ab} \\ \bar{X}_{ba} \\ \bar{Z}_{ba} \\ \bar{M}_{ba} \end{Bmatrix} = \begin{Bmatrix} -5000 \\ -8660 \\ 12990 \\ -5000 \\ -8660 \\ -12990 \end{Bmatrix} [\text{N}] \quad (5)$$

Primární vektor koncových sil $\{\bar{\mathbf{R}}_{bc}^1\}$ pro rovnoramenné zatížení sestavíme podle tab. 14.10(řádek 11) (tab. 8.1a/7)

$$\{\bar{\mathbf{R}}_{bc}^1\} = \begin{Bmatrix} \bar{X}_{bc}^1 \\ \bar{Z}_{bc}^1 \\ \bar{M}_{bc}^1 \\ \bar{X}_{cb}^1 \\ \bar{Z}_{cb}^1 \\ \bar{M}_{cb}^1 \end{Bmatrix} = \begin{Bmatrix} 0 \\ -9074 \\ 6111 \\ 0 \\ -926 \\ -1667 \end{Bmatrix} \begin{Bmatrix} 0 \\ -\frac{q \cdot a}{2 \cdot l^3} [2 \cdot l \cdot (l^2 - a^2) + a^3] \\ \frac{q \cdot a^2}{12 \cdot l^2} (6 \cdot b^2 + 3 \cdot a \cdot b + a \cdot l) \\ 0 \\ -\frac{q \cdot a^3}{2 \cdot l^3} (l + b) \\ -\frac{q \cdot a^3}{12 \cdot l^3} (3 \cdot b - l) \end{Bmatrix} [\text{N}]$$

Primární vektor koncových sil $\{\bar{\mathbf{R}}_{bc}^2\}$ pro zatížení osamělým momentem určíme podle tab. 11.2d (14.10 řádek 9) (tab. 8.1a/3)

$$\{\bar{\mathbf{R}}_{bc}^2\} = \begin{Bmatrix} \bar{X}_{bc}^2 \\ \bar{Z}_{bc}^2 \\ \bar{M}_{bc}^2 \\ \bar{X}_{cb}^2 \\ \bar{Z}_{cb}^2 \\ \bar{M}_{cb}^2 \end{Bmatrix} = \begin{Bmatrix} 0 \\ -2222 \\ 0 \\ 0 \\ 2222 \\ 3333 \end{Bmatrix} [\text{N}]$$

Primární vektor koncových sil $\{\bar{\mathbf{R}}_{bc}\}$

$$\{\bar{\mathbf{R}}_{bc}\} = \{\bar{\mathbf{R}}_{bc}^1\} + \{\bar{\mathbf{R}}_{bc}^2\} = \begin{Bmatrix} \bar{X}_{bc} \\ \bar{Z}_{bc} \\ \bar{M}_{bc} \\ \bar{X}_{cb} \\ \bar{Z}_{cb} \\ \bar{M}_{cb} \end{Bmatrix} = \begin{Bmatrix} 0 \\ -11296 \\ 6111 \\ 0 \\ 1296 \\ 1666 \end{Bmatrix} [\text{N}] \quad (6)$$

Zatěžovací vektor $\{\mathbf{F}\}$ určíme podle rovnice 4. Pro výpočet využijeme pouze hodnoty odpovídající neznámým deformacím u_b a φ_b .

$$\{\mathbf{F}\} = \{\emptyset\} - \begin{Bmatrix} -5000 + 0 \\ -12990 + 6111 \end{Bmatrix} = \begin{Bmatrix} 5000 \\ 6879 \end{Bmatrix}$$

4. Vektor neznámých deformací $\{\mathbf{r}\}$ získáme řešením soustavy $n_p = 2$ rovnic o $n_p = 2$ neznámých.

$$\begin{pmatrix} 2.88 \cdot 10^9 & 0 \\ 0 & 3.456 \cdot 10^8 \end{pmatrix} \cdot \begin{Bmatrix} u_b \\ \varphi_b \end{Bmatrix} = \begin{Bmatrix} 5000 \\ 6879 \end{Bmatrix}$$

$$\begin{Bmatrix} u_b \\ \varphi_b \end{Bmatrix} = \begin{Bmatrix} 1.736 \cdot 10^{-6} \\ 19.905 \cdot 10^{-6} \end{Bmatrix} \begin{Bmatrix} \text{m} \\ \text{rad} \end{Bmatrix}$$

5. Nyní vyřešíme vektor koncových sil. $\{\hat{\mathbf{R}}_{bc}\}$ je sekundární vektor koncových sil (značeno stříškou).

Pro řešení opět potřebujeme pouze zvýrazněné prvky – sloupce, které mají vztah s neznámými deformacemi.

$$\{\mathbf{R}_{ab}\} = \{\bar{\mathbf{R}}_{ab}\} + \{\hat{\mathbf{R}}_{ab}\} = \{\bar{\mathbf{R}}_{ab}\} + [\mathbf{k}_{ab}] \cdot \{\mathbf{r}_{ab}\} \quad (7)$$

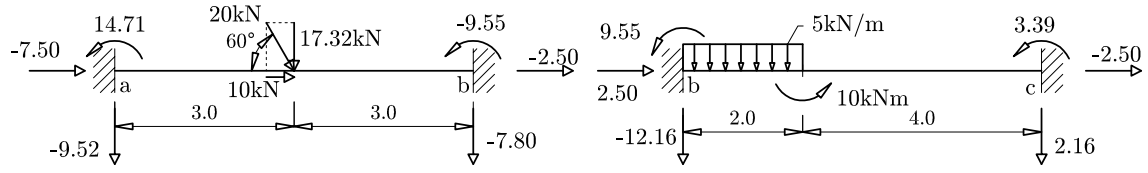
$$\{\mathbf{R}_{bc}\} = \{\bar{\mathbf{R}}_{bc}\} + \{\hat{\mathbf{R}}_{bc}\} = \{\bar{\mathbf{R}}_{bc}\} + [\mathbf{k}_{bc}] \cdot \{\mathbf{r}_{bc}\} \quad (8)$$

$$\begin{aligned} \{\mathbf{R}_{ab}\} &= \begin{Bmatrix} X_{ab} \\ Z_{ab} \\ M_{ab} \\ X_{ba} \\ Z_{ba} \\ M_{ba} \end{Bmatrix} = \begin{Bmatrix} -5000 \\ -8660 \\ 12990 \\ -5000 \\ -8660 \\ -12990 \end{Bmatrix} + \\ &+ \begin{pmatrix} 1.44 & 0 & 0 & -1.44 & 0 & 0 \\ 0 & 0.0144 & -0.0432 & 0 & -0.0144 & -0.0432 \\ 0 & -0.0432 & 0.1728 & 0 & 0.0432 & 0.0864 \\ -1.44 & 0 & 0 & 1.44 & 0 & 0 \\ 0 & -0.0144 & 0.0432 & 0 & 0.0144 & 0.0432 \\ 0 & -0.0432 & 0.0864 & 0 & 0.0432 & 0.1728 \end{pmatrix} \begin{Bmatrix} 0 \\ 0 \\ 0 \\ 1.736 \\ 0 \\ 19.905 \end{Bmatrix} \cdot 10^3 \\ \{\mathbf{R}_{bc}\} &= \begin{Bmatrix} X_{bc} \\ Z_{bc} \\ M_{bc} \\ X_{cb} \\ Z_{cb} \\ M_{cb} \end{Bmatrix} = \begin{Bmatrix} 0 \\ -11296 \\ 6111 \\ 0 \\ 1296 \\ 1666 \end{Bmatrix} + \\ &+ \begin{pmatrix} 1.44 & 0 & 0 & -1.44 & 0 & 0 \\ 0 & 0.0144 & -0.0432 & 0 & -0.0144 & -0.0432 \\ 0 & -0.0432 & 0.1728 & 0 & 0.0432 & 0.0864 \\ -1.44 & 0 & 0 & 1.44 & 0 & 0 \\ 0 & -0.0144 & 0.0432 & 0 & 0.0144 & 0.0432 \\ 0 & -0.0432 & 0.0864 & 0 & 0.0432 & 0.1728 \end{pmatrix} \begin{Bmatrix} 1.736 \\ 0 \\ 19.905 \\ 0 \\ 0 \\ 0 \end{Bmatrix} \cdot 10^3 \end{aligned}$$

Násobitel 10^3 byl získán součinem násobitele matice tuhosti 10^9 a násobitele vektoru deformací 10^{-6} .

$$\{\mathbf{R}_{ab}\} = \begin{Bmatrix} X_{ab} \\ Z_{ab} \\ M_{ab} \\ X_{ba} \\ Z_{ba} \\ M_{ba} \end{Bmatrix} = \begin{Bmatrix} -7500.16 \\ -9519.90 \\ 14709.80 \\ -2500.16 \\ -7800.00 \\ -9550.00 \end{Bmatrix} [\text{N}, \text{Nm}]$$

$$\{\mathbf{R}_{bc}\} = \begin{Bmatrix} X_{bc} \\ Z_{bc} \\ M_{bc} \\ X_{cb} \\ Z_{cb} \\ M_{cb} \end{Bmatrix} = \begin{Bmatrix} 2500 \\ -12156 \\ 9550 \\ -2500 \\ 2156 \\ 3385 \end{Bmatrix} [\text{N}, \text{Nm}]$$



Obrázek 4: Kontrola rovnováhy na prutu [kN, kNm]

6. Kontrola rovnováhy na prutu – obr. 4.

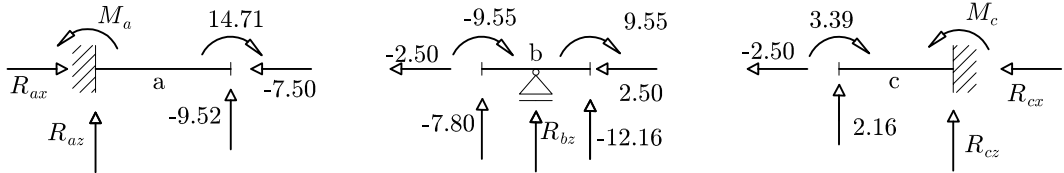
Bar a – b

$$\begin{aligned}\sum F_x &= 0 : -7.50 + 10 - 2.50 = 0 \\ \sum F_z &= 0 : -9.52 + 17.32 - 7.8 = 0 \\ \sum M_a &= 0 : 14.71 - 17.32 \cdot 3 - (-7.8) \cdot 6 + (-9.55) = 0\end{aligned}$$

Bar b – c

$$\begin{aligned}\sum F_x &= 0 : 2.50 + (-2.50) = 0 \\ \sum F_z &= 0 : -12.16 + 5 \cdot 2 + 2.16 = 0 \\ \sum M_b &= 0 : 9.55 - \frac{5 \cdot 2^2}{2} + 10 + 3.39 - 2.16 \cdot 6 = 0\end{aligned}$$

7. Kontrola rovnováhy v bodech a, b a c – obr. 5.



Obrázek 5: Force equilibrium in nodes a, b and c [kN, kNm]

Node a

$$\begin{aligned}\sum F_{xa} &= 0 : R_{ax} - (-7.50) = 0 \Rightarrow R_{ax} = -7.50 \text{ kN} \\ \sum F_{za} &= 0 : R_{az} + (-9.52) = 0 \Rightarrow R_{az} = 9.52 \text{ kN} \\ \sum M_a &= 0 : M_c - 14.71 = 0 \Rightarrow M_a = 14.71 \text{ kNm}\end{aligned}$$

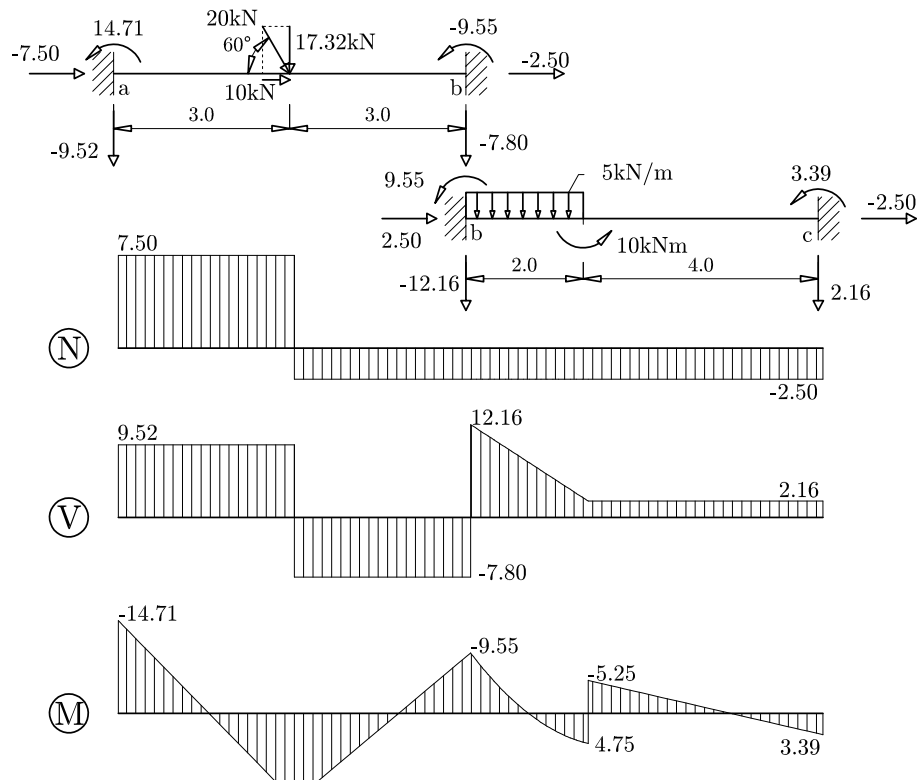
Node b

$$\begin{aligned}\sum F_{xb} &= 0 : -2.50 + 2.50 = 0 \\ \sum F_{zb} &= 0 : R_{bz} - 7.80 - 12.16 = 0 \Rightarrow R_{bz} = 19.96 \text{ kN} \\ \sum M_b &= 0 : -9.55 + 9.55 = 0\end{aligned}$$

Node c

$$\begin{aligned}\sum F_{xc} &= 0 : R_{cx} - (-2.50) = 0 \Rightarrow R_{cx} = -2.50 \text{ kN} \\ \sum F_{zc} &= 0 : R_{cz} + 2.16 = 0 \Rightarrow R_{cz} = -2.16 \text{ kN} \\ \sum M_c &= 0 : M_c - 3.39 = 0 \Rightarrow M_c = 3.39 \text{ kNm}\end{aligned}$$

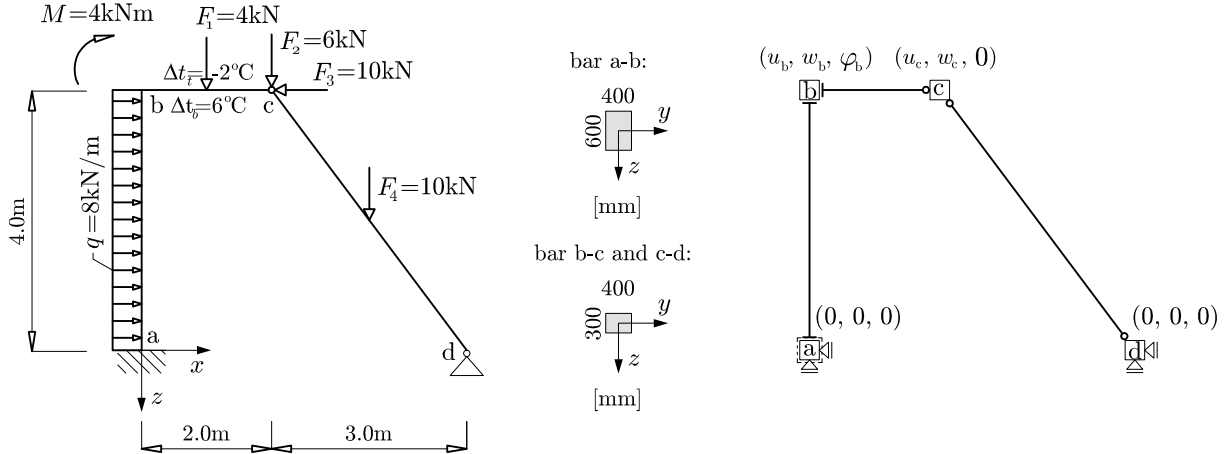
8. Diagramy vnitřních sil (N – normálová síla, V – posouvající síla, M – ohýbový moment) – obr. 6.



Obrázek 6: Vnitřní síly

1.2 2D rám

Obecnou deformační metodou vypočítejte a vykreslete vnitřní síly na rovinném rámu na obr. 7. Materiálové parametry jsou: modul pružnosti $E = 24 \text{ GPa}$ a koeficient teplotní roztažnosti $\alpha_t = 10^{-5} \text{ K}^{-1}$.



Obrázek 7: Vlevo: 2D rám a vpravo: výpočtový model.

Průřezová plocha prutů

$$A_{ab} = b \cdot h = 0.4 \cdot 0.6 = 0.24 \text{ m}^2$$

$$A_{bc} = A_{cd} = b \cdot h = 0.4 \cdot 0.3 = 0.12 \text{ m}^2$$

Momenty setrvačnosti

$$I_y^{ab} = \frac{1}{12} \cdot b \cdot h^3 = \frac{1}{12} \cdot 0.4 \cdot 0.6^3 = 0.0072 \text{ m}^4$$

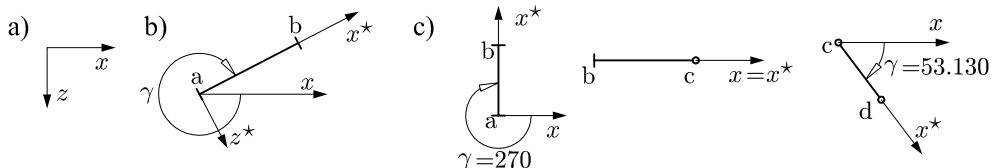
$$I_y^{bc} = I_y^{cd} = \frac{1}{12} \cdot b \cdot h^3 = \frac{1}{12} \cdot 0.4 \cdot 0.3^3 = 0.0009 \text{ m}^4$$

1. stupeň přetvárné neurčitosti

$$n_p = 5$$

2. vektor neznámých deformací a styčníkových sil

$$\{\mathbf{r}\} = \begin{Bmatrix} u_b \\ w_b \\ \varphi_b \\ u_c \\ w_c \end{Bmatrix} \quad \{\mathbf{S}\} = \begin{Bmatrix} 0 \\ 0 \\ -4000 \\ -10000 \\ 6000 \end{Bmatrix} [\text{N}, \text{Nm}] \quad (9)$$



Obrázek 8: a) globální souřadny systém xz , b) lokální souřadny systém prutu x^*z^* a určení úhlu γ (ve směru hodinových ručiček) c) úhel γ pro pruty a-b, b-c a c-d

3. Globání matice tuhosti

(a) prut a-b — tab. 11.4a, úhel $\gamma = 270^\circ \Rightarrow s = -1, c = 0$

$$[\mathbf{k}_{ab}] =$$

$$\left(\begin{array}{cccccc} u_a & w_a & \varphi_a & u_b & w_b & \varphi_b \\ . & . & . & -32.4 & 0 & -64.8 \\ . & . & . & 0 & -1440 & 0 \\ . & . & . & 64.8 & 0 & 86.4 \\ . & . & . & 32.4 & 0 & 64.8 \\ . & . & . & 0 & 1440 & 0 \\ . & . & . & 64.8 & 0 & 172.8 \end{array} \right) \begin{array}{l} u_a \\ w_a \\ \varphi_a \\ u_b \\ w_b \\ \varphi_b \end{array} [\cdot 10^6 \frac{\text{N}}{\text{m}}]$$

(b) prut b-c — lokální souřadný systém je totožný s globálním — můžeme tedy použít tab. 11.3b

$$[\mathbf{k}_{bc}] = [\mathbf{k}_{bc}^*] =$$

$$\left(\begin{array}{cccccc} u_b & w_b & \varphi_b & u_c & w_c & \varphi_c \\ 1440 & 0 & 0 & -1440 & 0 & 0 \\ 0 & 8.1 & -16.2 & 0 & -8.1 & 0 \\ 0 & -16.2 & 32.4 & 0 & 16.2 & 0 \\ -1440 & 0 & 0 & 1440 & 0 & 0 \\ 0 & -8.1 & 16.2 & 0 & 8.1 & 0 \\ 0 & 0 & 0 & 0 & 0 & 0 \end{array} \right) \begin{array}{l} u_b \\ w_b \\ \varphi_b \\ u_c \\ w_c \\ \varphi_c \end{array} [\cdot 10^6 \frac{\text{N}}{\text{m}}]$$

(c) prut c-d — tab. 11.4d, úhel $\gamma = 53.130^\circ \Rightarrow s = \frac{4}{5}, c = \frac{3}{5}$

$$[\mathbf{k}_{cd}] =$$

$$\left(\begin{array}{cccccc} u_c & w_c & \varphi_c & u_d & w_d & \varphi_d \\ 207.36 & 276.48 & . & . & . & . \\ 276.48 & 368.64 & . & . & . & . \\ 0 & 0 & . & . & . & . \\ -207.36 & -276.48 & . & . & . & . \\ -276.48 & -368.64 & . & . & . & . \\ 0 & 0 & . & . & . & . \end{array} \right) \begin{array}{l} u_c \\ w_c \\ \varphi_c \\ u_d \\ w_d \\ \varphi_d \end{array} [\cdot 10^6 \frac{\text{N}}{\text{m}}]$$

(d) Globální matice tuhosti prutového systému

$$[\mathbf{k}] =$$

$$\left(\begin{array}{ccccc} u_b & w_b & \varphi_b & u_c & w_c \\ 32.4 + 1440 & 0 + 0 & 64.8 + 0 & -1440 & 0 \\ 0 + 0 & 1440 + 8.1 & 0 + (-16.2) & 0 & -8.1 \\ 64.8 + 0 & 0 + (-16.2) & 172.8 + 32.4 & 0 & 16.2 \\ -1440 & 0 & 0 & 1440 + 207.36 & 0 + 276.48 \\ 0 & -8.1 & 16.2 & 0 + 276.48 & 8.1 + 368.64 \end{array} \right) \begin{array}{l} u_b \\ w_b \\ \varphi_b \\ u_c \\ w_c \end{array} [\cdot 10^6 \frac{\text{N}}{\text{m}}]$$

$$[\mathbf{k}] =$$

$$\left(\begin{array}{ccccc} u_b & w_b & \varphi_b & u_c & w_c \\ 1472.4 & 0 & 64.8 & -1440 & 0 \\ 0 & 1448.1 & -16.2 & 0 & -8.1 \\ 64.8 & -16.2 & 205.2 & 0 & 16.2 \\ -1440 & 0 & 0 & 1647.36 & 276.48 \\ 0 & -8.1 & 16.2 & 276.48 & 376.74 \end{array} \right) \begin{array}{l} u_b \\ w_b \\ \varphi_b \\ u_c \\ w_c \end{array} [\cdot 10^6 \frac{\text{N}}{\text{m}}]$$

4. Lokální primární vektor koncových sil

(a) prut a-b — tab 11.2a (tab. 14.10 řádek 13)

$$\{\bar{\mathbf{R}}_{ab}^*\} = \begin{Bmatrix} \bar{X}_{ab}^* \\ \bar{Z}_{ab}^* \\ \bar{M}_{ab}^* \\ \bar{X}_{ba}^* \\ \bar{Z}_{ba}^* \\ \bar{M}_{ba}^* \end{Bmatrix} = \begin{Bmatrix} 0 \\ -16 \\ 10\bar{6} \\ 0 \\ -16 \\ -10\bar{6} \end{Bmatrix} [\cdot 10^3 \text{ N, Nm}] \quad (10)$$

– transformace do globálního souřadného systému

$$\{\bar{\mathbf{R}}_{ab}\} = \begin{Bmatrix} \bar{X}_{ab} \\ \bar{Z}_{ab} \\ \bar{M}_{ab} \\ \bar{X}_{ba} \\ \bar{Z}_{ba} \\ \bar{M}_{ba} \end{Bmatrix} = \begin{Bmatrix} -16 \\ 0 \\ 10\bar{6} \\ -16 \\ 0 \\ -10\bar{6} \end{Bmatrix} [\cdot 10^3 \text{ N, Nm}] \quad (11)$$

(b) prut b-c — síla F_1 : tab. 11.2c (tab. 14.11 řádek 2) a teplotní zatížení t : tab. 11.5b

$$\{\bar{\mathbf{R}}_{bc}^*\}_{F_1} = \{\bar{\mathbf{R}}_{bc}\}_{F_1} = \begin{Bmatrix} 0 \\ -2.75 \\ 1.5 \\ 0 \\ -1.25 \\ 0 \end{Bmatrix} [\cdot 10^3 \text{ N, Nm}] \quad (12)$$

$$\{\bar{\mathbf{R}}_{bc}^*\}_t = \{\bar{\mathbf{R}}_{bc}\}_t = \begin{Bmatrix} 57.6 \\ -4.32 \\ 8.64 \\ -57.6 \\ 4.32 \\ 0 \end{Bmatrix} [\cdot 10^3 \text{ N, Nm}] \quad (13)$$

$$\{\bar{\mathbf{R}}_{bc}^*\} = \{\bar{\mathbf{R}}_{bc}\} = \begin{Bmatrix} \bar{X}_{bc}^* \\ \bar{Z}_{bc}^* \\ \bar{M}_{bc}^* \\ \bar{X}_{cb}^* \\ \bar{Z}_{cb}^* \\ \bar{M}_{cb}^* \end{Bmatrix} = \begin{Bmatrix} 57.6 \\ -7.07 \\ 10.14 \\ -57.6 \\ 3.07 \\ 0 \end{Bmatrix} [\cdot 10^3 \text{ N, Nm}] \quad (14)$$

(c) prut c-d — stejně jako prostě podepřený nosník

$$\{\bar{\mathbf{R}}_{cd}^*\} = \begin{Bmatrix} \bar{X}_{cd}^* \\ \bar{Z}_{cd}^* \\ \bar{M}_{cd}^* \\ \bar{X}_{dc}^* \\ \bar{Z}_{dc}^* \\ \bar{M}_{dc}^* \end{Bmatrix} = \begin{Bmatrix} -4 \\ -3 \\ 0 \\ -4 \\ -3 \\ 0 \end{Bmatrix} [\cdot 10^3 \text{ N, Nm}] \quad (15)$$

– transformace do globálních souřadnic

$$\{\bar{\mathbf{R}}_{cd}\} = \begin{Bmatrix} \bar{X}_{cd} \\ \bar{Z}_{cd} \\ \bar{M}_{cd} \\ \bar{X}_{dc} \\ \bar{Z}_{dc} \\ \bar{M}_{dc} \end{Bmatrix} = \begin{Bmatrix} 0 \\ -5 \\ 0 \\ 0 \\ -5 \\ 0 \end{Bmatrix} [\cdot 10^3 \text{ N, Nm}] \quad (16)$$

(d) Primární vektor prutového systému

$$\{\bar{\mathbf{R}}\} = \begin{Bmatrix} -16 + 57.6 \\ 0 + (-7.07) \\ -10\bar{6} + 10.14 \\ -57.6 + 0 \\ 3.07 + (-5) \end{Bmatrix} \cdot 10^3 = \begin{Bmatrix} 41.6 \\ -7.07 \\ -0.52\bar{6} \\ -57.6 \\ -1.93 \end{Bmatrix} [\cdot 10^3 \text{ N, Nm}] \quad (17)$$

5. Zatěžovací vektor

$$\{\mathbf{F}\} = \{\mathbf{S}\} - \{\bar{\mathbf{R}}\} = \begin{Bmatrix} 0 \\ 0 \\ -4 \\ -10 \\ 6 \end{Bmatrix} \cdot 10^3 - \begin{Bmatrix} 41.6 \\ -7.07 \\ -0.52\bar{6} \\ -57.6 \\ -1.93 \end{Bmatrix} \cdot 10^3 = \begin{Bmatrix} -41.6 \\ 7.07 \\ -3.47\bar{3} \\ 47.6 \\ 7.93 \end{Bmatrix} [\cdot 10^3 \text{ N, Nm}] \quad (18)$$

6. Soustava rovnic

$$[\mathbf{k}] \cdot \{\mathbf{r}\} = \{\mathbf{F}\} \quad (19)$$

$$\begin{pmatrix} 1472.4 & 0 & 64.8 & -1440 & 0 \\ 0 & 1448.1 & -16.2 & 0 & -8.1 \\ 64.8 & -16.2 & 205.2 & 0 & 16.2 \\ -1440 & 0 & 0 & 1647.36 & 276.48 \\ 0 & -8.1 & 16.2 & 276.48 & 376.74 \end{pmatrix} \cdot 10^6 \cdot \begin{Bmatrix} u_b \\ w_b \\ \varphi_b \\ u_c \\ w_c \end{Bmatrix} = \begin{Bmatrix} -41.6 \\ 7.07 \\ -3.47\bar{3} \\ 47.6 \\ 7.93 \end{Bmatrix} \cdot 10^3$$

$$\begin{Bmatrix} u_b \\ w_b \\ \varphi_b \\ u_c \\ w_c \end{Bmatrix} = \begin{Bmatrix} 39.171 \\ 4.429 \\ -26.783 \\ 67.736 \\ -27.414 \end{Bmatrix} [\cdot 10^{-6} \text{ m, rad}]$$

7. Vektor koncových sil prutu

$$\{\mathbf{R}_{ab}\} = \{\bar{\mathbf{R}}_{ab}\} + \{\hat{\mathbf{R}}_{ab}\} = \{\bar{\mathbf{R}}_{ab}\} + [\mathbf{k}_{ab}] \{\mathbf{r}_{ab}\} \quad (20)$$

$$\{\hat{\mathbf{R}}_{ab}\} = \begin{pmatrix} . & . & . & -32.4 & 0 & -64.8 \\ . & . & . & 0 & -1440 & 0 \\ . & . & . & 64.8 & 0 & 86.4 \\ . & . & . & 32.4 & 0 & 64.8 \\ . & . & . & 0 & 1440 & 0 \\ . & . & . & 64.8 & 0 & 172.8 \end{pmatrix} \cdot \begin{Bmatrix} 0 \\ 0 \\ 0 \\ 39.171 \\ 4.429 \\ -26.783 \end{Bmatrix} = \begin{Bmatrix} 466.398 \\ -6377.76 \\ 224.230 \\ -466.398 \\ 6377.76 \\ -2089.822 \end{Bmatrix} [\text{N, Nm}]$$

$$\{\hat{\mathbf{R}}_{bc}\} = \begin{pmatrix} 1440 & 0 & 0 & -1440 & 0 & 0 \\ 0 & 8.1 & -16.2 & 0 & -8.1 & 0 \\ 0 & -16.2 & 32.4 & 0 & 16.2 & 0 \\ -1440 & 0 & 0 & 1440 & 0 & 0 \\ 0 & -8.1 & 16.2 & 0 & 8.1 & 0 \\ 0 & 0 & 0 & 0 & 0 & 0 \end{pmatrix} \cdot \begin{Bmatrix} 39.171 \\ 4.429 \\ -26.783 \\ 67.736 \\ -27.414 \\ 0 \end{Bmatrix} = \begin{Bmatrix} -41133.6 \\ 691.813 \\ -1383.626 \\ 41133.6 \\ -691.813 \\ 0 \end{Bmatrix} [\text{N}, \text{Nm}]$$

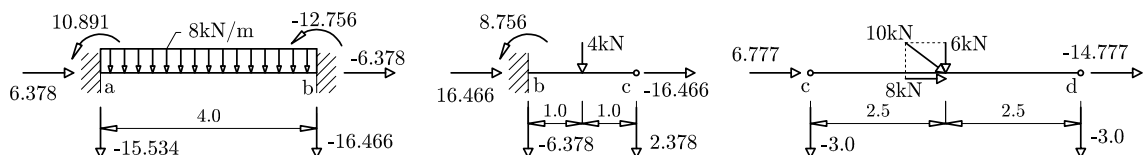
$$\{\hat{\mathbf{R}}_{cd}\} = \begin{pmatrix} 207.36 & 276.48 & . & . & . & . \\ 276.48 & 368.64 & . & . & . & . \\ 0 & 0 & . & . & . & . \\ -207.36 & -276.48 & . & . & . & . \\ -276.48 & -368.64 & . & . & . & . \\ 0 & 0 & . & . & . & . \end{pmatrix} \cdot \begin{Bmatrix} 67.736 \\ -27.414 \\ 0 \\ 0 \\ 0 \\ 0 \end{Bmatrix} = \begin{Bmatrix} 6466.314 \\ 8621.752 \\ 0 \\ -6466.314 \\ -8621.752 \\ 0 \end{Bmatrix} [\text{N}, \text{Nm}]$$

$$\{\mathbf{R}_{ab}\} = \begin{Bmatrix} -15533.602 \\ -6377.76 \\ 10890.896 \\ -16466.398 \\ 6377.76 \\ -12765.4886 \end{Bmatrix} \xrightarrow{\text{transform}} \{\mathbf{R}_{ab}^*\} = \begin{Bmatrix} 6377.76 \\ -15533.6 \\ 10890.896 \\ -6377.76 \\ -16466.398 \\ -12765.4886 \end{Bmatrix} [\text{N}, \text{Nm}]$$

$$\{\mathbf{R}_{bc}\} = \{\mathbf{R}_{bc}^*\} = \begin{Bmatrix} 16466.4 \\ -6378.187 \\ 8756.374 \\ -16466.4 \\ 2378.187 \\ 0 \end{Bmatrix} [\text{N}, \text{Nm}]$$

$$\{\mathbf{R}_{cd}\} = \begin{Bmatrix} 6466.314 \\ 3621.752 \\ 0 \\ -6466.314 \\ -13621.752 \\ 0 \end{Bmatrix} \xrightarrow{\text{transform}} \{\mathbf{R}_{cd}^*\} = \begin{Bmatrix} 6777.19 \\ -3000 \\ 0 \\ -14777.19 \\ -3000 \\ 0 \end{Bmatrix} [\text{N}, \text{Nm}]$$

8. Kontrola rovnováhy na prutu – obr. 9.



Obrázek 9: Force equilibrium on the bar [kN, kNm]

Bar a – b

$$\begin{aligned}\sum F_x &= 0 : 6.378 + (-6.378) = 0 \\ \sum F_z &= 0 : -15.534 + 8 \cdot 4 - 16.466 = 0 \\ \sum M_a &= 0 : 10.891 - 8 \cdot \frac{4^2}{2} + (-12.756) - (-16.466) \cdot 4 = 0\end{aligned}$$

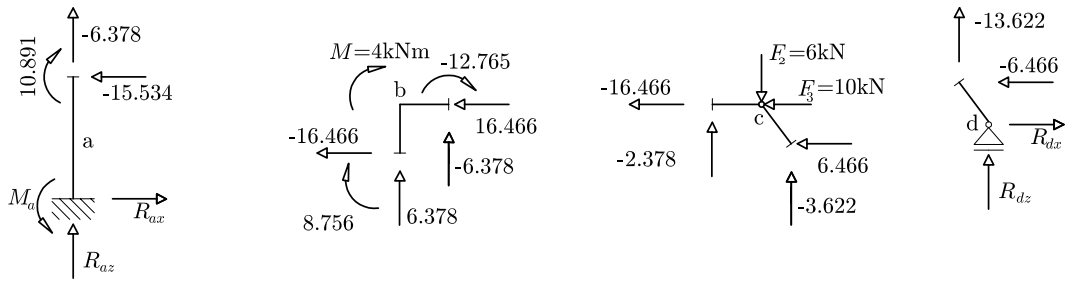
Bar b – c

$$\begin{aligned}\sum F_x &= 0 : 16.466 + (-16.466) = 0 \\ \sum F_z &= 0 : -6.378 + 4 + 2.378 = 0 \\ \sum M_b &= 0 : 8.756 - 4 \cdot 1 - 2.378 \cdot 2 = 0\end{aligned}$$

Bar c – d

$$\begin{aligned}\sum F_x &= 0 : 6.777 + 8 + (-14.777) = 0 \\ \sum F_z &= 0 : -3 + 6 + (-3) = 0 \\ \sum M_b &= 0 : 6 \cdot 2.5 + (-3) \cdot 5 = 0\end{aligned}$$

9. Kontrola rovnováhy ve styčnících a, b a c a podporových reakcích – obr. 10.



Obrázek 10: Force equilibrium in nodes a, b, c and d [kN, kNm]

Node a

$$\begin{aligned}\sum F_{xa} &= 0 : R_{ax} - (-15.534) = 0 \Rightarrow R_{ax} = -15.534 \text{ kN} \\ \sum F_{za} &= 0 : R_{az} + (-6.378) = 0 \Rightarrow R_{az} = 6.378 \text{ kN} \\ \sum M_a &= 0 : M_a - 10.891 = 0 \Rightarrow M_a = 10.891 \text{ kNm}\end{aligned}$$

Node b

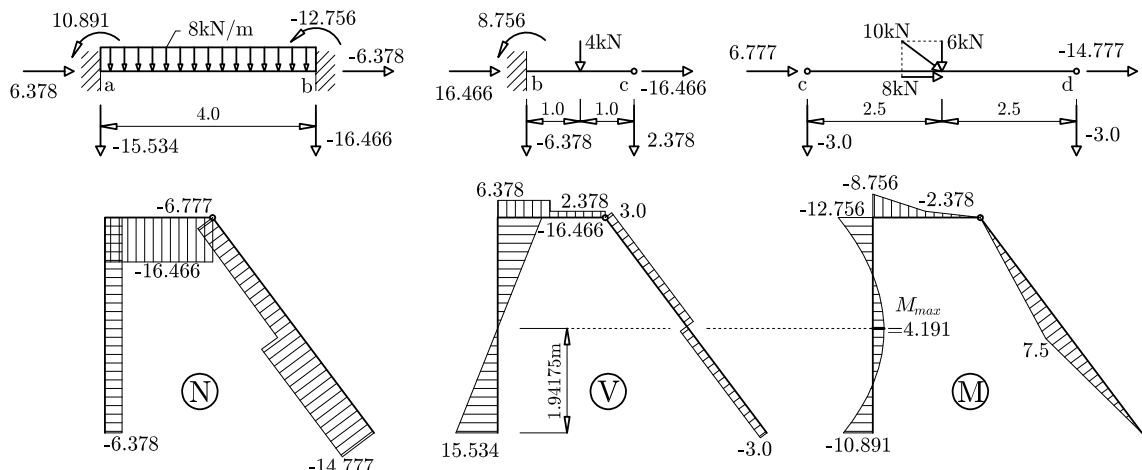
$$\begin{aligned}\sum F_{xb} &= 0 : -16.466 + 16.466 = 0 \\ \sum F_{zb} &= 0 : 6.378 + (-6.378) = 0 \\ \sum M_b &= 0 : 8.756 + 4 + (-12.765) = 0\end{aligned}$$

Node c

$$\begin{aligned}\sum F_{xc} &= 0 : -16.466 + 10 + 6.466 = 0 \\ \sum F_{zc} &= 0 : -2.378 + 6 + (-3.622) = 0\end{aligned}$$

Node d

$$\begin{aligned}\sum F_{xd} &= 0 : R_{dx} - (-6.466) = 0 \Rightarrow R_{dx} = -6.466 \text{ kN} \\ \sum F_{zd} &= 0 : R_{dz} + (-13.622) = 0 \Rightarrow R_{dz} = -13.622 \text{ kN}\end{aligned}$$

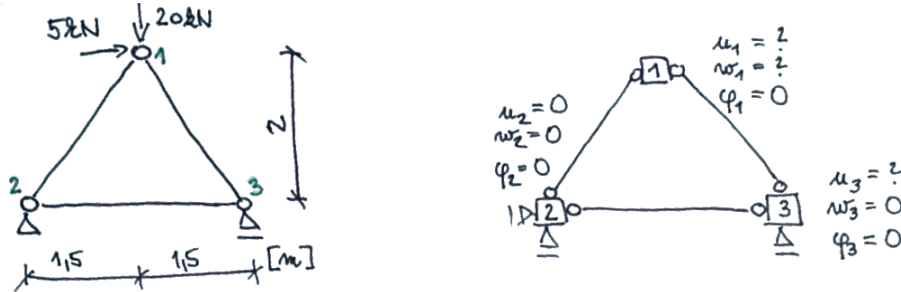


Obrázek 11: Vnitřní síly rovinářského rámu – N, V, M

10. Diagramy vnitřních sil obr. 11.

1.3 Příhradová konstrukce

Obecnou deformační metodou vyřešte vnitřní síly na jednoduché příhradové konstrukci. Průřezová plocha prutů je $A = 15 \cdot 10^{-4} \text{ m}^2$ a modul pružnosti $E = 210 \text{ GPa}$.



Obrázek 12: Příhradová konstrukce a výpočtový model

1. Určení minimálního stupně přetvárné neurčitosti n_p a výpočtový model. Z obrázku 12 vpravo vyplývá stupeň přetvárné neurčitosti $n_p = 3$.
2. Globální vektor parametrů deformace \mathbf{r} (neznámé deformace) a jemu odpovídající globální vektor uzlového (styčníkového) zatížení \mathbf{S} .

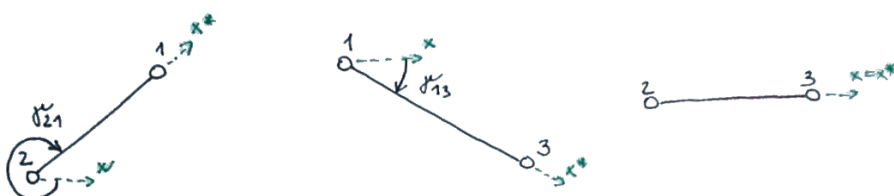
$$\{\mathbf{r}\} = \begin{Bmatrix} u_1 \\ w_1 \\ u_2 \end{Bmatrix} \quad (21)$$

Vektor uzlových zatížení obsahuje síly odpovídající deformacím obsaženým ve vektoru neznámých deformací. Deformaci u_1 ve směru globální osy x ve styčníku 1 odpovídá síla 5000 N. Ve styčníku 3 se nenachází žádná síla ve směru osy x ve směru posunu u_3 , proto 0.

$$\{\mathbf{S}\} = \begin{Bmatrix} 5000 \\ 20000 \\ 0 \end{Bmatrix} [\text{N}] \quad (22)$$

3. Výpočet globálních matic tuhosti pro jednotlivé pruty (volím pruty 2-1, 1-3, 2-3) a sestavení globální matice tuhosti prutové soustavy.

Protože jsou všechny pruty oboustranně kloubově připojené (kloub-kloub), budou následující matice tuhosti zjednodušeny na matice 4×4 . Pro výpočet matic tuhosti šikmých prutů použijeme tabulku 8.2d.



Obrázek 13: Úhly natočení jednotlivých prutů

Parametry pro prut 2-1 – $l = 2.5 \text{ m}$, $s = -\frac{4}{5}$ a $c = \frac{3}{5}$.

$$[\mathbf{k}_{21}] = \begin{pmatrix} u_2 & w_2 & u_1 & w_1 \\ . & . & -45.36 & 60.48 \\ . & . & 60.48 & -80.64 \\ . & . & 45.36 & -60.48 \\ . & . & -60.48 & 80.64 \end{pmatrix} \begin{matrix} u_2 \\ w_2 \\ u_1 \\ w_1 \end{matrix} \cdot 10^6 \left[\frac{\text{N}}{\text{m}} \right]$$

Parametry pro prut 1-3 – $l = 2.5$ m, $s = \frac{4}{5}$ a $c = \frac{3}{5}$.

$$[k_{13}] = \begin{pmatrix} u_1 & w_1 & u_3 & w_3 \\ 45.36 & 60.48 & -45.36 & . \\ 60.48 & 80.64 & -60.48 & . \\ -45.36 & -60.48 & 45.36 & . \\ -60.48 & -80.64 & 60.48 & . \end{pmatrix} \begin{pmatrix} u_1 \\ w_1 \\ u_3 \\ w_3 \end{pmatrix} \cdot 10^6 \left[\frac{\text{N}}{\text{m}} \right]$$

Lokální i globální souřadný systém prutu 2-3 jsou totožné, proto můžeme použít tabulku 8.3d pro lokální matice tuhosti prutu.

$$[k_{23}] = \begin{pmatrix} u_2 & w_2 & u_3 & w_3 \\ . & . & -105 & . \\ . & . & 0 & . \\ . & . & 105 & . \\ . & . & 0 & . \end{pmatrix} \begin{pmatrix} u_2 \\ w_2 \\ u_3 \\ w_3 \end{pmatrix} \cdot 10^6 \left[\frac{\text{N}}{\text{m}} \right]$$

Globální matici tuhosti soustavy prutů získáme sečtením příslušných tuhostí pro naše neznámé deformace (šedá políčka v maticích tuhostí). Vznikne tak matice o velikosti $n_p \times n_p$.

$$[k] = \left(\begin{array}{c|cc|c} 45.36 & -60.48 & -45.36 \\ +45.36 & +60.48 & . \\ \hline -60.48 & 80.64 & -60.48 \\ +60.48 & +80.64 & . \\ \hline -45.36 & -60.48 & 45.36 \\ & & +105 \end{array} \right) \cdot 10^6 = \begin{pmatrix} 90.72 & 0 & -45.36 \\ 0 & 161.28 & -60.48 \\ -45.36 & -60.48 & 150.36 \end{pmatrix} \cdot 10^6 \quad (23)$$

4. Řešení soustavy lineárních rovnic (např. Gaussova eliminační metoda):

$$[k] \cdot \{r\} = \{F\} \quad (24)$$

Protože se jedná o příhradovou konstrukci, kde je zatížení soustředěno ve styčnících, vektor sil $\{F\}$ je roven vektoru uzlových zatížení.

$$\{F\} = \{S\} \quad (25)$$

$$\begin{pmatrix} 90.72 & 0 & -45.36 \\ 0 & 161.28 & -60.48 \\ -45.36 & -60.48 & 150.36 \end{pmatrix} \begin{Bmatrix} u_1 \\ w_1 \\ u_2 \end{Bmatrix} = \begin{Bmatrix} 5000 \\ 20000 \\ 0 \end{Bmatrix} [\text{N}] \quad (26)$$

Vyřešením soustavy získáváme neznámé deformace konstrukce:

$$\begin{Bmatrix} u_1 \\ w_1 \\ u_2 \end{Bmatrix} = \begin{Bmatrix} 1.027337 \\ 1.597222 \\ 0.952381 \end{Bmatrix} \cdot 10^{-4} [\text{m}] \quad (27)$$

5. Výpočet globálních vektorů výsledných koncových sil a jejich transformace do lokálního souřadného systému jednotlivých prutů. Výsledné koncové síly jsou rovny sekundárním koncovým silám, protože konstrukce neobsahuje zatížení na prutech (vektory primárních koncových sil jsou nulové).

$$R_{ab} = \hat{R}_{ab} \quad (28)$$

$$[R_{21}] = \begin{pmatrix} . & . & -45.36 & 60.48 \\ . & . & 60.48 & -80.64 \\ . & . & 45.36 & -60.48 \\ . & . & -60.48 & 80.64 \end{pmatrix} \cdot \begin{Bmatrix} 0 \\ 0 \\ 1.027337 \\ 1.597222 \end{Bmatrix} \cdot 10^2 = \begin{Bmatrix} 5000 \\ -6666.\bar{6} \\ -5000 \\ 6666.\bar{6} \end{Bmatrix} [\text{N}]$$

Pozor na vliv zaokrouhlování! Při použití $\{r_{21}\} = \{0, 0, 103, 160\}^T \cdot 10^{-6}$ dostaneme vektor výsledných koncových sil $\{\mathbf{R}_{21}\} = \{5004.72, -6672.96, -5004.72, 6672.96\}^T$.

$$[\mathbf{R}_{13}] = \begin{pmatrix} 45.36 & 60.48 & -45.36 & \cdot \\ 60.48 & 80.64 & -60.48 & \cdot \\ -45.36 & -60.48 & 45.36 & \cdot \\ -60.48 & -80.64 & 60.48 & \cdot \end{pmatrix} \cdot \begin{Bmatrix} 1.027337 \\ 1.597222 \\ 0.952381 \\ 0 \end{Bmatrix} \cdot 10^2 = \begin{Bmatrix} 10000 \\ 13333.\bar{3} \\ -10000 \\ -13333.\bar{3} \end{Bmatrix} [\text{N}]$$

Pozor na vliv zaokrouhlování! Při použití $\{r_{13}\} = \{103, 160, 95, 0\}^T \cdot 10^{-6}$ dostaneme vektor výsledných koncových sil $\{\mathbf{R}_{13}\} = \{10039.68, 13386.24, -10039.68, -13386.34\}^T$.

$$[\mathbf{R}_{23}] = \begin{pmatrix} \cdot & \cdot & -105 & \cdot \\ \cdot & \cdot & 0 & \cdot \\ \cdot & \cdot & 105 & \cdot \\ \cdot & \cdot & 0 & \cdot \end{pmatrix} \cdot \begin{Bmatrix} 0 \\ 0 \\ 0.952381 \\ 0 \end{Bmatrix} \cdot 10^2 = \begin{Bmatrix} -10000 \\ 0 \\ 10000 \\ 0 \end{Bmatrix} [\text{N}]$$

Pozor na vliv zaokrouhlování! Při použití $\{r_{23}\} = \{0, 0, 95, 0\}^T \cdot 10^{-6}$ dostaneme vektor výsledných koncových sil $\{\mathbf{R}_{23}\} = \{-9975, 0, 9975, 0\}^T$.

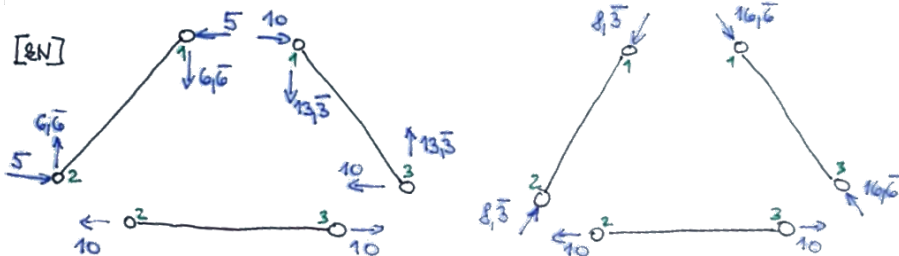
Síly v globálních vektorech výsledných koncových sil můžeme vykreslit přímo do příslušných styčníků a pomocí rozkladu sil získat osové síly na prutech, což je to samé jako provedení transformace:

$$\mathbf{R}_{ab}^* = \mathbf{T}_{ab} \mathbf{R}_{ab} \quad (29)$$

$$\{\mathbf{R}_{21}^*\} = \begin{pmatrix} 3/5 & -4/5 & 0 & 0 \\ 4/5 & 3/5 & 0 & 0 \\ 0 & 0 & 3/5 & -4/5 \\ 0 & 0 & 4/5 & 3/5 \end{pmatrix} \begin{Bmatrix} 5000 \\ -6666.\bar{6} \\ -5000 \\ 6666.\bar{6} \end{Bmatrix} = \begin{Bmatrix} 8333.\bar{3} \\ 0 \\ -8333.\bar{3} \\ 0 \end{Bmatrix}$$

$$\{\mathbf{R}_{21}^*\} = \begin{pmatrix} 3/5 & 4/5 & 0 & 0 \\ -4/5 & 3/5 & 0 & 0 \\ 0 & 0 & 3/5 & 4/5 \\ 0 & 0 & -4/5 & 3/5 \end{pmatrix} \begin{Bmatrix} 10000 \\ 13333.\bar{3} \\ -10000 \\ -13333.\bar{3} \end{Bmatrix} = \begin{Bmatrix} 16666.\bar{6} \\ 0 \\ -16666.\bar{6} \\ 0 \end{Bmatrix}$$

6. Vykreslení vnitřních sil na konstrukci.

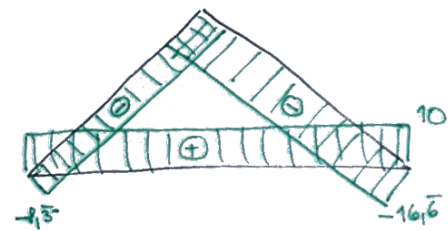


Obrázek 14: Globální a lokální výsledné koncové síly na jednotlivých prutech

Pozn. 1: Protože se jedná o jednoduchou staticky určitou konstrukci, můžete provést kontrolu výsledků pomocí styčníkové metody (viz Základy stavební mechaniky).

Pozn. 2: Pokud by se měly počítat pouze deformace, stačí vyčíslovat pouze šedá políčka matic tuhosti a primárních vektorů. Pokud se počítá celý příklad, je potřeba vyčíslit celé sloupce matic tuhosti náležející neznámým deformacím a celé primární vektory.

Pozn. 3: Pro výpočty sin a cos je obvykle (školní příklady) výhodnější zápis poměrem stran pravoúhlého trojúhelníku než přepočet přes úhly (obvykle pěkné zlomky \Rightarrow menší zaokrouhlovací chyby).



Obrázek 15: Normálové síly příhradové konstrukce